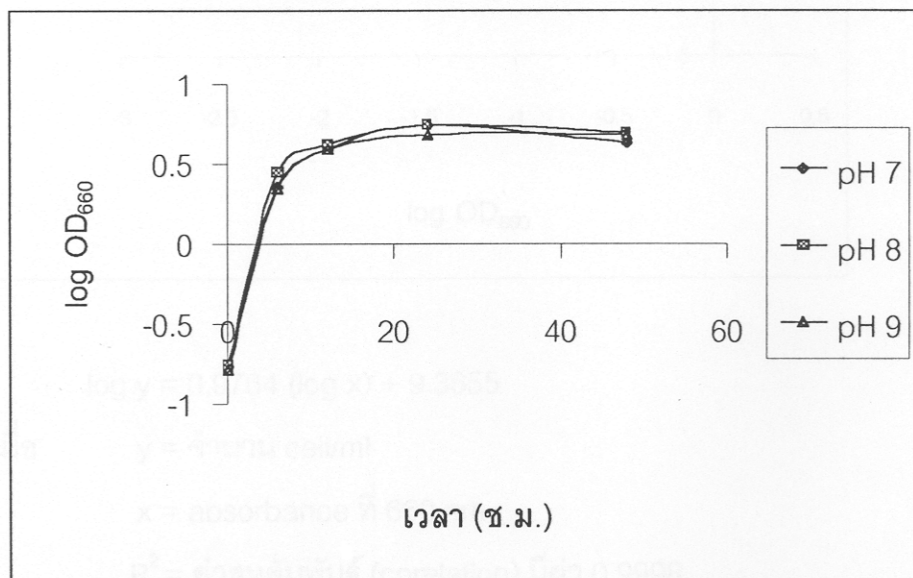


### 3. ผลการทดลอง

#### 3.1 การศึกษาการเจริญของเชื้อแบคทีเรียก่อโรค (*V. harveyi*)

##### 3.1.1 การวัดการเจริญของ *V. harveyi* ที่ pH 7.0, 8.0 และ 9.0

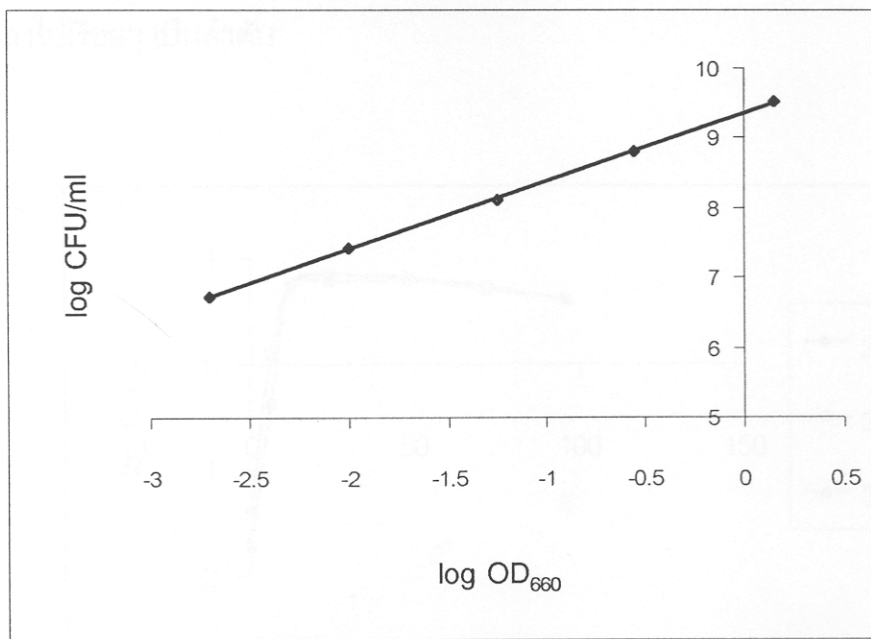
การเจริญของ *V. harveyi* ที่เลี้ยงในอาหารเหลว TSB (เติม 1.5%NaCl) ที่ pH 7.0, 8.0 และ 9.0 เขย่าที่ความเร็ว 200 rpm อุณหภูมิ 30°C ติดตามผลด้วยการวัดความชุ่นจาก การวัดการดูดกลืนแสงที่ 660 nm ที่เวลา 0, 6, 12, 24 และ 48 ชั่วโมงตามลำดับ ในสภาพ pH ที่หลากหลาย แสดงผลในตารางภาคผนวกที่ 1 รูปที่ 5 พบว่ารูปแบบการเจริญเติบโตของเชื้อ *V. harveyi* ที่ pH 7.0, 8.0 และ 9.0 มีความคล้ายคลึงกันมาก โดยการเจริญเพิ่มขึ้นอย่างรวดเร็วในช่วงแรกแล้วค่อยๆ ช้าลง จนถึงจุดที่เชื้อมีการเจริญสูงสุดในเวลา 24 ชั่วโมง



รูปที่ 5 กราฟแสดงการเจริญของ *V. harveyi* ในอาหารเลี้ยงเชื้อที่ pH ต่างๆ

### 3.1.2 การหาความสัมพันธ์ระหว่างค่าการดูดกลืนแสงกับความเข้มข้นของ *V. harveyi*

การหาความสัมพันธ์ระหว่างค่าการดูดกลืนแสงที่ 660 nm กับจำนวน CFU/ml ของเชื้อ โดยแสดงผลในรูป  $\log \text{CFU/ml}$  กับค่า  $\log \text{OD}_{660}$  ช่วยทำให้การทดลองทำได้รวดเร็ว ขึ้นและนำกลับมาหานิยามที่ถูกต้องโดยใช้ colony plate count อีกครั้งหนึ่ง ดังแสดงผล ในตารางภาคผนวกที่ 2 รูปที่ 6



$$\log y = 0.9764 (\log x) + 9.3655$$

เมื่อ  $y = \text{จำนวน cell/ml}$

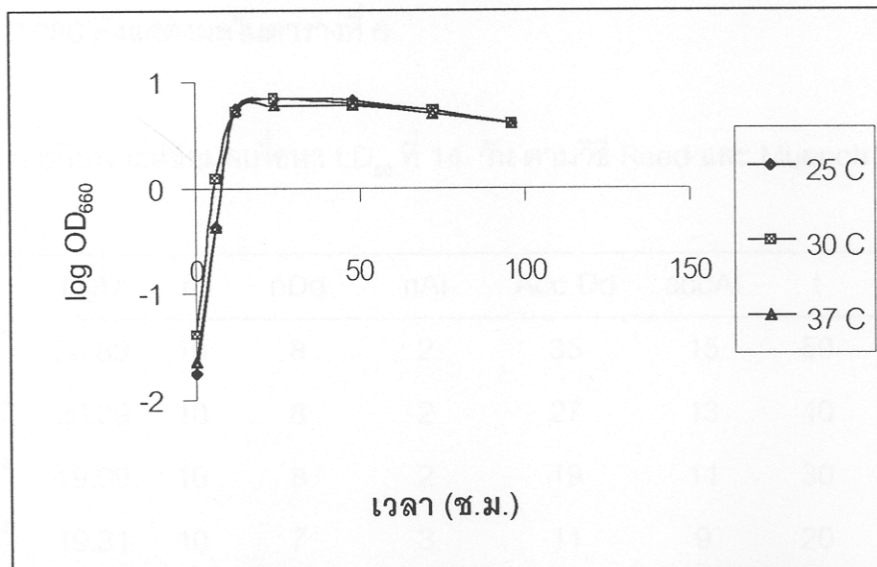
$x = \text{absorbance ที่ } 660 \text{ nm}$

$R^2 = \text{ค่าสหสัมพันธ์ (corelation) มีค่า } 0.9998$

รูปที่ 6 กราฟแสดงความสัมพันธ์ระหว่างค่าการดูดกลืนแสงในรูป  $\log \text{OD}_{660}$  กับค่าปริมาณ เชื้อในรูป  $\log \text{CFU/ml}$  ของ *V. harveyi*

### 3.1.3 การหาการเจริญของ *V. harveyi* ที่อุณหภูมิต่างๆ

การเจริญของ *V. harveyi* ในอาหารเหลว TSB (เติม 1.5% NaCl) เขย่าที่ อุณหภูมิ 25°C, 30°C และ 37°C ตามลำดับ ติดตามผลด้วยการวัดความชื้นจากการวัด การดูดกลืนแสงที่ความยาวคลื่น 660 nm ณ. เวลาต่างๆ ดังแสดงผลในตารางภาคผนวกที่ 3 รูปที่ 7 พบว่า รูปแบบการเจริญของ *V. harveyi* มีความใกล้เคียงกันในอาหารเหลวชนิดนี้ที่ อุณหภูมิทดสอบ โดยการเพิ่มจำนวนเชื้อ *V. harveyi* ในช่วงแรกเป็นไปอย่างรวดเร็ว ตามเวลาที่เพิ่มขึ้น จนถึงจุดที่มีการเจริญของเชื้อสูงสุดในเวลา 24 ชั่วโมง หลังจากนั้นจำนวน เชื้อลดลงไปเรื่อยๆ เป็นลำดับ



รูปที่ 7 กราฟแสดงความสัมพันธ์ระหว่างเวลาของการเจริญและปริมาณความชื้นของเชื้อที่ อุณหภูมิต่างๆ

n = number of test shimp per concentration

nD = number of dead shimp

nAL = number of living shimp

accDd = accumulate of dead shimp

### 3.1.4 การเจริญของ *V. harveyi* ที่ระดับความเค็มต่าง ๆ

เมื่อทำการลากเชือ *V. harveyi* บนagarรุ่น TSA ที่ผสมเกลือ NaCl ลงไปให้มีความเข้มข้น 5, 25, 50, 75 และ 100 ppt พบว่า *V. harveyi* สามารถเจริญได้ที่ระดับความเค็มตั้งแต่ 5 - 50 ppt แต่เมื่อระดับความเค็มเพิ่มขึ้นเป็น 75 - 100 ppt เชือ *V. harveyi* ไม่สามารถเจริญต่อไปได้

### 3.2 การทดสอบความรุนแรงของเชือ *V. harveyi*

จากการนำเชือ *V. harveyi* มาทดสอบหาความรุนแรง โดยฉีดเชือที่ความเข้มข้น 0.08, 0.1, 0.2, 0.3 และ 0.5 โดยวัดค่าความชุ่มที่ OD<sub>660</sub> บันทึกเวลาและจำนวนกุ้งที่ตายแล้วนำมาคำนวณค่า LD<sub>50</sub> พบว่ามีค่าเท่ากับ  $2.12 \times 10^8$  CFU/ml หรือมีค่าการดูดกลืนแสงที่ 660 nm เท่ากับ 0.086 ดังแสดงผลในตารางที่ 6

ตารางที่ 6 การวิเคราะห์ข้อมูลเพื่อหา LD<sub>50</sub> ที่ 14 วัน ตามวิธี Reed และ Muench (1938)

conc	InyD	n	nDd	nAl	Acc Dd	accAl	t	Per M
$1.18 \times 10^9$	20.89	10	8	2	35	15	50	80
$7.16 \times 10^8$	20.39	10	8	2	27	13	40	80
$4.82 \times 10^8$	19.99	10	8	2	19	11	30	80
$2.45 \times 10^8$	19.31	10	7	3	11	9	20	70
$1.97 \times 10^8$	19.10	10	4	6	4	6	10	40

conc = concentration of *V. harveyi* (cell/ml/shrimp)

InyD = Iny dose

n = number of test shrimp per concentration

nDd = number of dead shrimp

nAl = number of living shrimp

accDd = accumulate of dead shrimp

accAI = accumulate of living shrimp

t = total of accumulate of dead and living shrimp

Per M = cumulative percentage mortality

การคำนวณค่า  $LD_{50}$  ที่ 14 วัน

จากสูตร

$$LD_{50} = \text{lny concentration below 50\% mortality} + (50\%-mortality \text{ below } 50\%/\text{mortality})$$

$$\text{above } 50\% - \text{mortality below } 50\%) (\text{lny concentration above } 50\% \text{ mortality} -$$

$$\text{lny concentration below } 50\%)$$

$$= 19.10 + [(50 - 40) / (70 - 40)] (119.31 - 19.10)$$

$$= 19.10 + 0.073 = 19.173$$

$$\text{get anti lny } 17.96 = 2.12 \times 10^8$$

การคำนวณหาค่า absorbance

จากสูตร

$$\log y = 0.9764 (\log x) + 9.3655$$

เมื่อ y = จำนวนเซลล์ต่อมิลลิเมตร

x = absorbance ที่ 660 นาโนเมตร

$$R^2 = \text{ค่าสหสัมพันธ์ (correlation)} = 0.9998$$

แทนค่า ในสูตร

$$8.33 = 0.9764 (\log x) + 9.3655$$

$$x = 0.086$$

ดังนั้นค่า absorbance ที่ 660 นาโนเมตร คือ 0.086

### 3.3 การคัดเลือก *B. subtilis* สายพันธุ์ที่ยับยั้งการเจริญของ *V. harveyi* สายพันธุ์

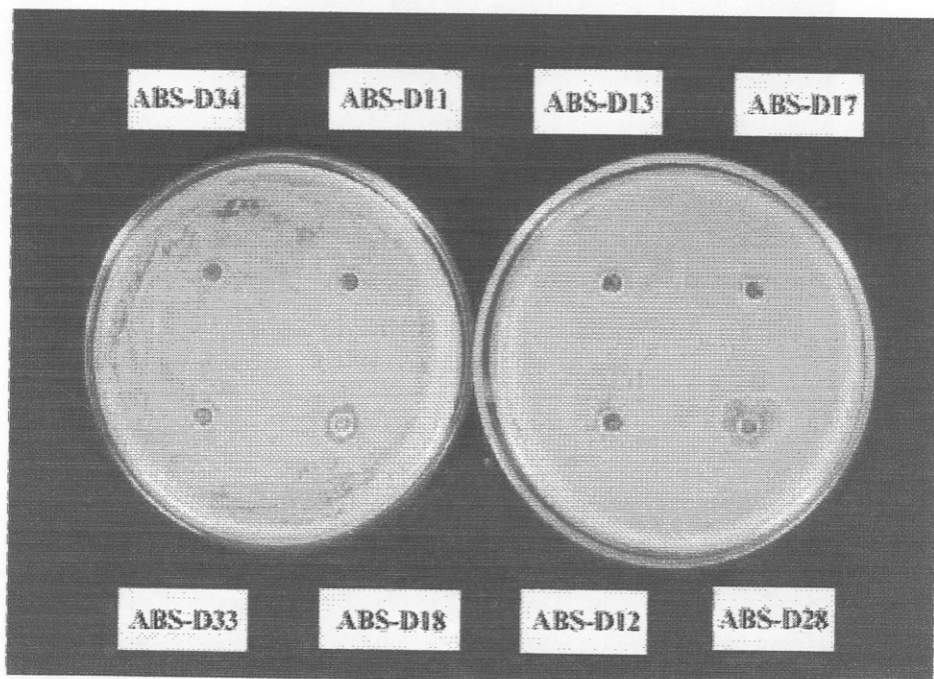
การทดสอบ *B. subtilis* 27 สายพันธุ์ บนagarร้อน TSA (เติม 1.5%NaCl) ที่มีเชื้อ *V. harveyi* เกลี้ยงอยู่ทั่ว ดังแสดงผลในตารางที่ 7 และรูปที่ 8 แสดงผลบางตัวอย่าง พบว่า *B. subtilis* 5 สายพันธุ์ ที่ให้ผลยับยั้งเชื้อ *V. harveyi* ได้ดีที่สุด เมื่อพิจารณาจากความกว้างของบริเวณใส่ที่เกิดขึ้นรอบๆ หลุมที่ใส่เชื้อ *B. subtilis* สายพันธุ์เหล่านี้ คือ *B. subtilis* ABS-D10, ABS-D18, ABS-D19, ABS-D24 และ ABS-D28 ทำการคัดเลือก *B. subtilis* ที่มีศักยภาพในการยับยั้งเชื้อ *V. harveyi* มากที่สุดจาก เชื้อ *B. subtilis* 5 สายพันธุ์ที่ได้ โดยใช้น้ำเลี้ยงเชื้อของ *B. subtilis* ทั้ง 5 สายพันธุ์ดังกล่าว การทดสอบแบ่งออกเป็น 2 ชุด โดยชุดแรก ใช้น้ำเลี้ยงเชื้อที่ยังไม่กรอง ชุดที่สองใช้น้ำเลี้ยงเชื้อที่ผ่านการกรองแล้ว และทำให้มีความเข้มข้นเพิ่มขึ้นเป็น 10 เท่า โดยผลที่ได้เป็นดังนี้ คือ ในชุดแรกน้ำเลี้ยงเชื้อ *B. subtilis* ABS-D18, ABS-D19, ABS-D24 และ ABS-D28 ทั้ง 4 สายพันธุ์ให้ผลการยับยั้งเชื้อ *V. harveyi* ไม่ดี สังเกตจากความกว้างของบริเวณใส่ที่เกิดขึ้นรอบๆ หลุมที่ใส่เชื้อ *B. subtilis* เหล่านี้ ยังมีความชุนของเชื้อ *V. harveyi* อยู่ ต่างจาก *B. subtilis* ABS-D10 ที่ความกว้างของบริเวณใส่ไม่มากนักแต่ชัดเจนกว่าคือ สามารถยับยั้งเชื้อ *V. harveyi* ได้ทั้งหมดในบริเวณที่เห็นว่าใส่และเพื่อให้เห็นผลการทดลองชัดเจนขึ้นจึงทำการทดลองชุดที่สองได้ผลดังนี้ คือ *B. subtilis* ABS-D18, ABS-D19, ABS-D24 และ ABS-D28 ทั้ง 4 สายพันธุ์ให้ผลการยับยั้ง *V. harveyi* โดยสังเกตจากบริเวณใส่รอบๆ หลุมแผ่กว้างออกแต่พบว่ายังมีความชุนของ *V. harveyi* อยู่ แสดงว่า *B. subtilis* ทั้ง 4 สายพันธุ์ที่กล่าวมายังไม่สามารถยับยั้งเชื้อ *V. harveyi* ได้ทั้งหมด ต่างจาก *B. subtilis* ABS-D10 ที่บริเวณใส่ที่เกิดขึ้นรอบๆ หลุมที่ใส่เชื้อนี้เห็นได้ชัดเจน แสดงถึงความสามารถในการยับยั้ง *V. harveyi* ได้ดีกว่าสายพันธุ์อื่น ๆ เมื่อนำผลการทดลองหั้งสองชุดเปรียบเทียบกันพบว่าชุดที่สองเห็นผลการยับยั้ง *V. harveyi* ได้ดีกว่าชุดที่หนึ่ง โดยสังเกตจากบริเวณใส่ที่เกิดขึ้นรอบๆ หลุมมีความกว้างมากกว่าและวงใส่ที่ได้ชัดเจนกว่า แต่การทดลองหั้งสองชุดให้ผลที่สอดคล้องกัน คือ *B. subtilis* สายพันธุ์ที่มีศักยภาพในการยับยั้ง *V. harveyi* มากที่สุด ได้แก่ *B. subtilis* ABS-D10 ดังแสดงผลในรูปที่ 9 และ รูปที่ 10 ตามลำดับ ซึ่งจากผลดังกล่าว *B. subtilis* ABS-D10 จึงถูกคัดเลือก เพื่อใช้ทำการทดลองในหัวข้อต่อไป

ตารางที่ 7 แสดงผลที่ได้จากการยับยั้งเชื้อ *V. harveyi* โดยเชื้อ *B. subtilis*

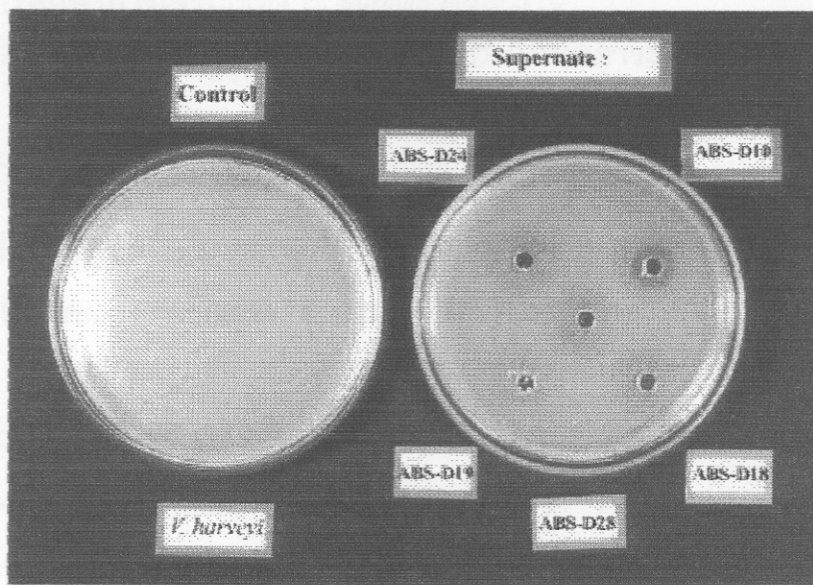
เชื้อที่ทดสอบ	ผลที่ได้	เชื้อที่ทดสอบ	ผลที่ได้
ABS-D10	-	ABS-D33	-
ABS-D04	-	*ABS-D18	+ 1
ABS-D05	-	ABS-D13	+ 1
ABS-D02	+ 1	ABS-D17	+ 1
ABS-D08	-	ABS-D12	+ 1
ABS-D09	-	*ABS-D28	+3
*ABS-D24	+ 3	ABS-D29	-
ABS-D25	-	ABS-D31	-
ABS-D06	-	ABS-D32	-
*ABS-D10	+ 3	*ABS-D19	+ 2
ABS-D03	-	ABS-D27	-
ABS-D34	-	ABS-D20	-
ABS-D11	+ 1	ABS-D21	-
		ABS-D30	-

หมายเหตุ

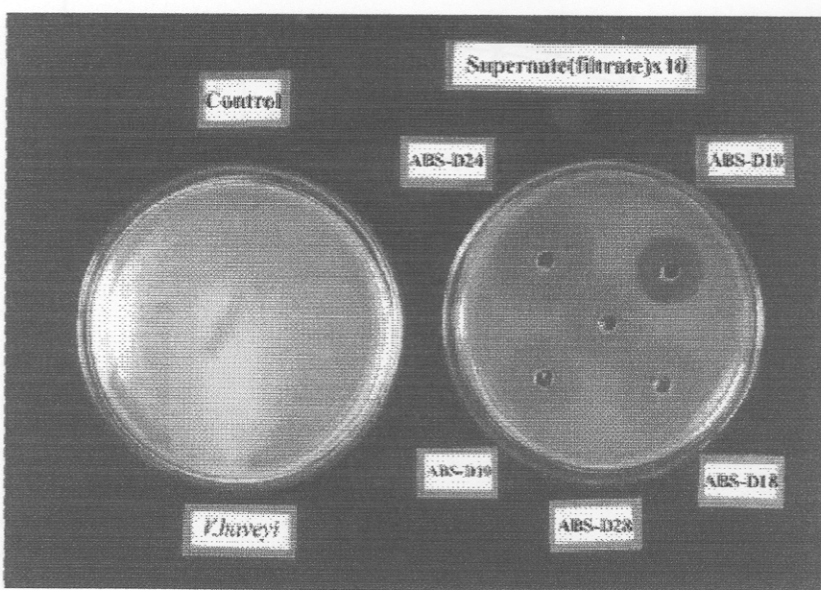
- ไม่ยับยั้ง
- + 1 ยับยั้งประมาณ 8 mm
- + 2 ยับยั้งประมาณ 9 - 10 mm
- + 3 ยับยั้งประมาณ 11 - 12 mm
- + 4 ยับยั้งประมาณ 13 - 15 mm
- \* สายพันธุ์ที่ได้รับการคัดเลือก



รูปที่ 8 ตัวอย่างการยับยั้งการเจริญของแบคทีเรียก่อโรค (*V. harveyi*) โดย *B. subtilis*  
8 สายพันธุ์ จากทั้งหมด 27 สายพันธุ์บนอาหารวัสดุ TSA+1.5%NaCl



รูปที่ 9 การยับยั้งการเจริญของ *V. harveyi* โดย *B. subtilis* 5 สายพันธุ์ คือ *B. subtilis* ABS-D10, -D18, -D19, -D24 และ -D28

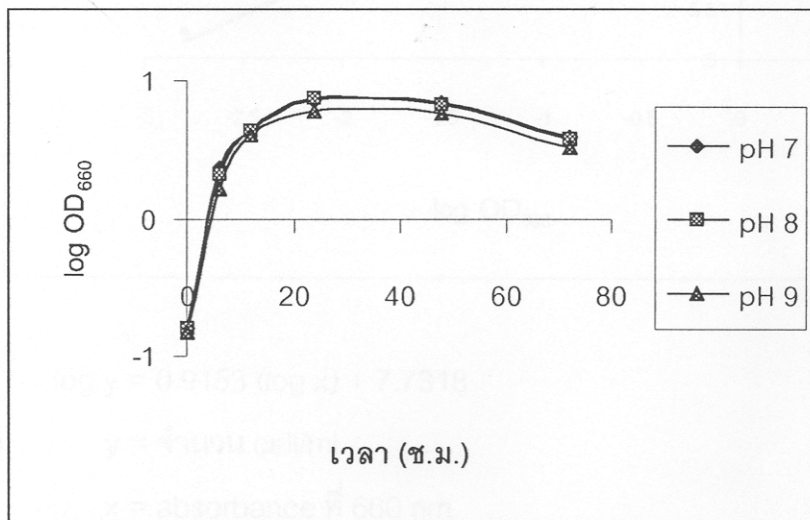


รูปที่ 10 การยับยั้งการเจริญของ *V. harveyi* โดย *B. subtilis* 5 สายพันธุ์ ชุดที่สอง (supernate กรอง และทำให้ความเข้มข้นเพิ่มขึ้น 10 เท่า)

### 3.4 การศึกษาการเจริญของ *B. subtilis* ABS-D10

#### 3.4.1 การเพาะเลี้ยง *B. subtilis* ABS-D10 ในสภาวะที่มี pH 7.0, 8.0 และ 9.0

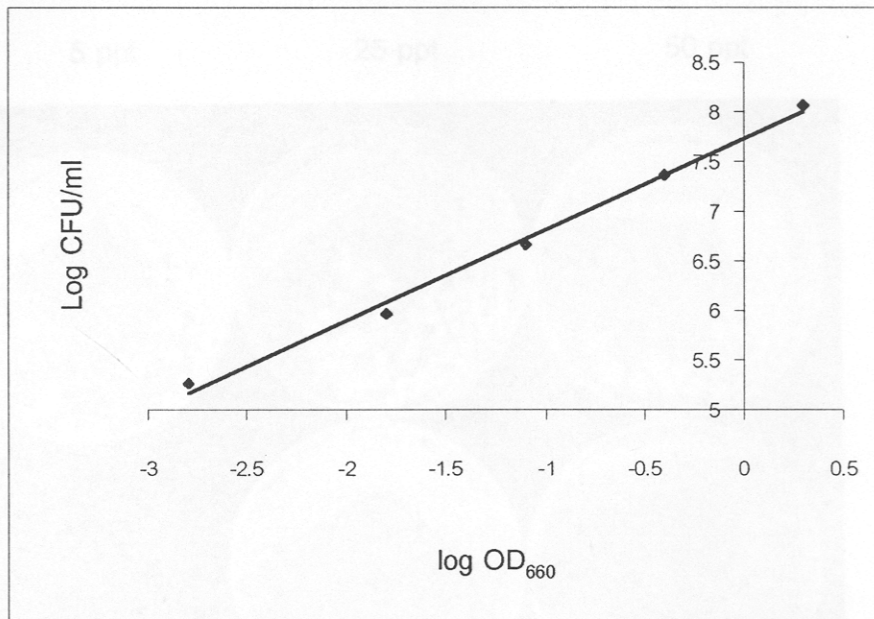
การวัดการเจริญของเชื้อ *B. subtilis* ABS-D10 ที่มีเชื้อเริ่มต้น 5% inoculum เพาะเลี้ยงในฟลาสติกที่มีอาหารเหลว TSB (เติม 1.5% NaCl) ที่ pH 7.0, 8.0 และ 9.0 เขย่าที่ความเร็ว 200 rpm อุณหภูมิ 30°C ในเวลาต่างๆ ที่ 0, 6, 12, 24, 48 และ 72 ชั่วโมงตามลำดับ โดยวัดการดูดกลืนแสงที่ 660 nm ดังแสดงผลในตารางภาคผนวกที่ 4 รูปที่ 11 พบว่า เชื้อ *B. subtilis* ABS-D10 มีการเจริญอย่างรวดเร็วแล้วค่อยๆ ช้าลง จนถึงจุดสูงสุดในเวลา 24 ชั่วโมง หลังจากนั้นการเจริญจะลดลง โดยรูปแบบการเจริญเดียบโตของเชื้อ *B. subtilis* ABS-D10 ที่ pH 7.0 และ pH 8.0 ไม่ต่างกัน ส่วนที่ pH 9.0 เชื้อเจริญถึงจุดสูงสุดได้น้อยกว่าในสภาวะ pH 7.0 และ 8.0



รูปที่ 11 กราฟการเจริญของ *B. subtilis* ABS-D10 ในสภาวะ pH ต่างๆ

### 3.4.2 การหาความสัมพันธ์ระหว่างค่าการดูดกลืนแสงกับความเข้มข้นของ *B. subtilis* ABS-D10

จากการเพาะเลี้ยง *B. subtilis* ABS-D10 แล้วเจ้าจากเชื้อให้มีความชุ่นที่ความเข้มข้นต่างๆ ดังแสดงในตารางภาคผนวกที่ 5 รูปที่ 12 จะเห็นได้ว่า เมื่อความชุ่นของเชื้อเพิ่มขึ้น จำนวนเซลล์ของเชื้อก็เพิ่มขึ้นตามลำดับ



$$\log y = 0.9153 (\log x) + 7.7318$$

เมื่อ  $y$  = จำนวน cell/ml

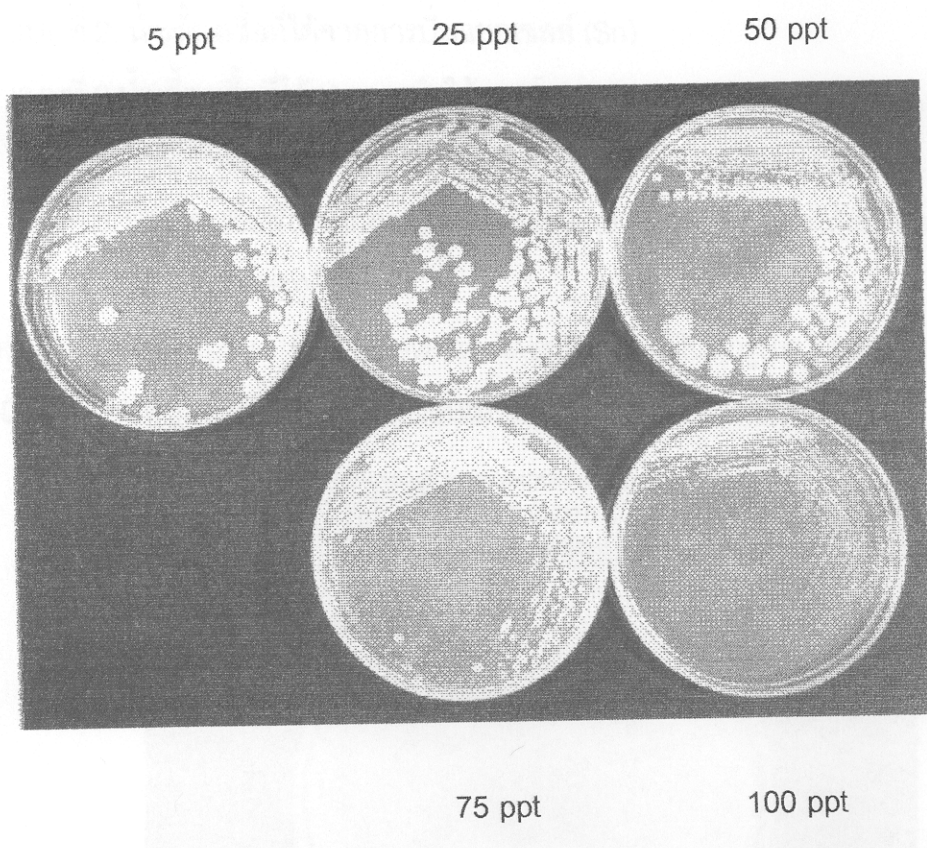
$x$  = absorbance ที่ 660 nm

$R^2$  = ค่าสหสัมพันธ์ (correlation) มีค่า 0.9938

รูปที่ 12 กราฟแสดงความสัมพันธ์ระหว่าง log OD<sub>660</sub> กับ log CFU/ml ของ *B. subtilis* ABS-D10

### 3.4.3 การเจริญของ *B. subtilis* ABS-D10 ที่ระดับความเค็มต่าง ๆ

เมื่อทำการลากเชื้อ *B. subtilis* ABS-D10 บนagarวุน TSA ที่ผสมเกลือ NaCl ลงไปให้มีความเข้มข้น 5, 25, 50, 75 และ 100 ppt พบร้าว่า *B. subtilis* ABS-D10 สามารถเจริญได้ทุก ๆ ระดับความเค็ม ตั้งแต่ 5 -100 ppt แต่การเจริญลดลงเมื่อระดับความเค็มเพิ่มขึ้น ดังแสดงในรูปที่ 13 เห็นได้ว่า *B. subtilis* ABS-D10 เจริญได้ดีที่ระดับความเค็มนิ่งช่วง 5-50 ppt



รูปที่ 13 การเจริญของเชื้อ *B. subtilis* ABS-D10 ที่ศึกษาบนagarวุน TSA ที่เติมเกลือ NaCl ลงไปให้มีความเข้มข้น 5, 25, 50, 75 และ 100 ppt ตามลำดับ

### 3.5 ผลการทดสอบสารออกฤทธิ์จากน้ำเลี้ยง *B. subtilis* ABS-D10 รูปแบบต่างๆ ใน การยับยั้งการเจริญของ *V. harveyi*

จากการเพาะเลี้ยง *B. subtilis* ABS-D10 ในอาหารเหลว TSB (เติม 1.5% NaCl) นาน 24 ชั่วโมง เมื่อนำเชื้อที่เพาะได้แบ่งออกเป็น 5 ส่วน แล้วเตรียมเป็นเชื้อทดสอบรูปแบบต่างๆ สำหรับยับยั้งการเจริญ *V. harveyi* ดังแสดงผลในรูปที่ 14 และตารางภาคผนวกที่ 6 พบว่า สารออกฤทธิ์จาก *B. subtilis* ABS-D10 แบบที่ 1 – 5 คือ

แบบที่ 1 น้ำเลี้ยงเชื้อที่มีตัวเซลล์ (Sc)

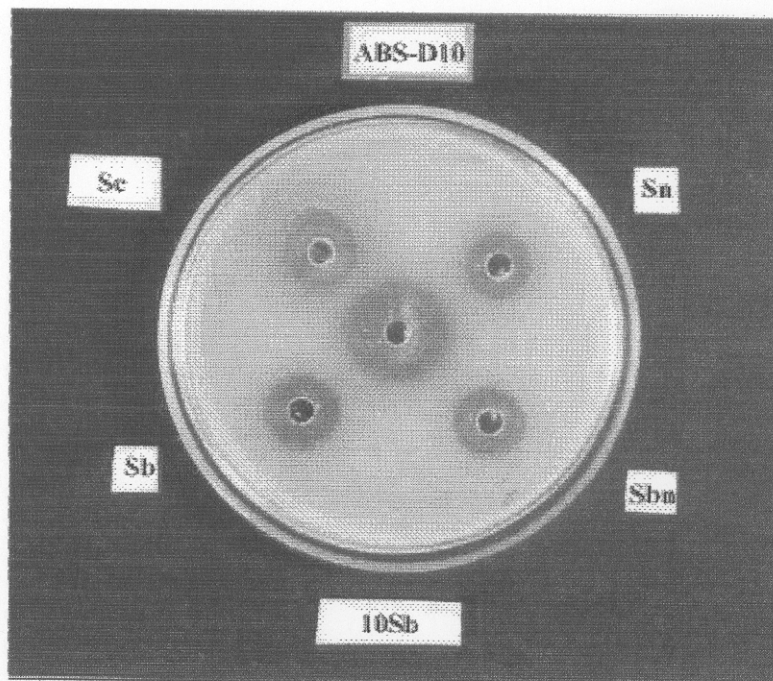
แบบที่ 2 น้ำเลี้ยงเชื้อที่ได้จากการปั่นแยกเซลล์ (Sn)

แบบที่ 3 น้ำเลี้ยงเชื้อที่ได้จากการทำให้เซลล์แตกและกรอง (Sb)

แบบที่ 4 น้ำเลี้ยงเชื้อที่ได้จากการทำให้เซลล์แตกและปั่นแยกเซลล์ (Sbn)

แบบที่ 5 น้ำเลี้ยงเชื้อที่ได้จากการทำให้เซลล์แตกกรองแยก และทำให้เข้มข้นเพิ่มขึ้น 10 เท่า (10Sb)

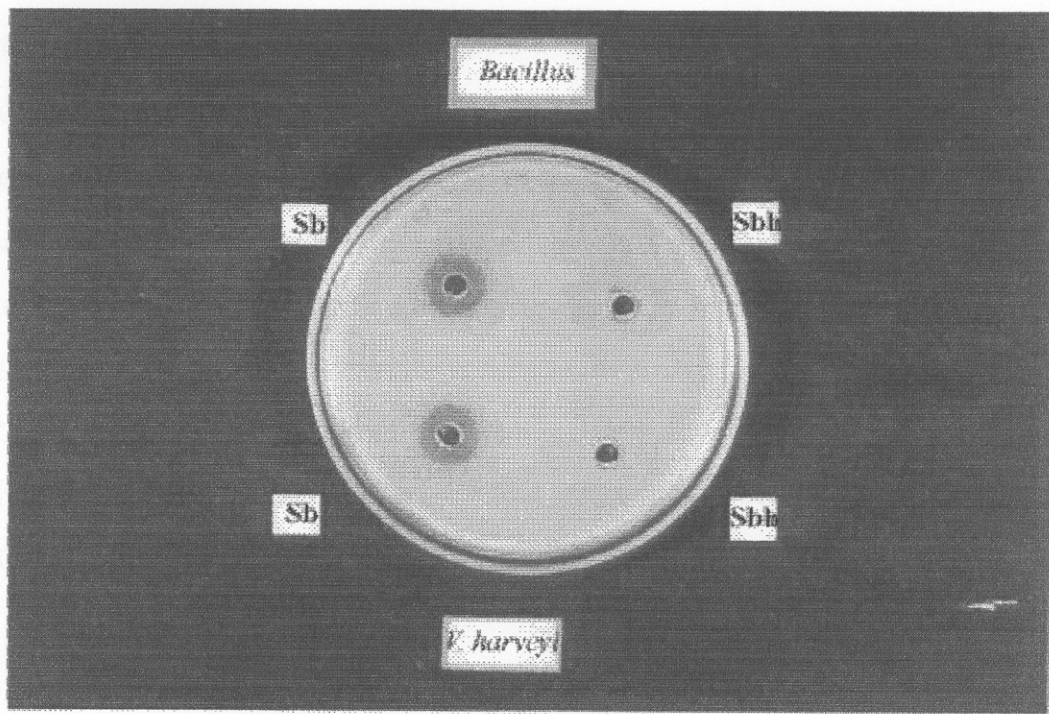
สามารถยับยั้งการเจริญของ *V. harveyi* เห็นได้อย่างชัดเจนในทุกรูปแบบของ *B. subtilis* ABS-D10 และการยับยั้งเห็นได้ชัดเจนยิ่งขึ้นเมื่อน้ำเลี้ยงเชื้อมีความเข้มข้นมากขึ้น 10 เท่า



รูปที่ 14 การออกฤทธิ์ของ *B. subtilis* ABS-D10 ในรูปแบบต่างๆ ต่อการยับยั้งการเจริญ ของ *V. harveyi*

### 3.6 ความเสถียรของสารออกฤทธิ์จากน้ำเลี้ยงเชื้อ *B. subtilis* สายพันธุ์ ABS-D10 ต่อการขับยั้งการเจริญเติบโตของเชื้อ *V. harveyi* สายพันธุ์ 046

จากการเพาะเลี้ยงเชื้อ *B. subtilis* สายพันธุ์ ABS-D10 ในอาหารเหลว TSB(เติม 1.5%NaCl) เป็นเวลา 48 ชั่วโมงและนำเชื้อไปทำให้เซลล์แตกแล้วแยกเอาเฉพาะส่วนใส (supernate) โดยนำส่วนใสที่ได้ส่วนหนึ่งไปผ่านความร้อนจากไอน้ำที่อุณหภูมิ 121°C ความดัน 15 ปอนด์/ตารางนิวตัน นาน 5 นาที หลังจากนั้นนำเชื้อทั้งที่ผ่านความร้อนและไม่ผ่านความร้อน ไปหยดในหลุมที่ถูกเจาะไว้บนอาหารกุ้นTSAที่มีเชื้อ *V. harveyi* เกลี่ยกระยะอยู่ทั่วผิวน้ำกุ้น หลังจากนั้นนำจานอาหารเลี้ยงเชื้อไปปั่นเข้าไว้เป็นเวลา 24 ชั่วโมง สังเกตการยับยั้ง ดังแสดงผลในตารางภาคผนวกที่ 7 รูปที่ 15 พบว่า สารออกฤทธิ์จากน้ำเลี้ยงเชื้อ *B. subtilis* สายพันธุ์ ABS-D10 ให้ผลยับยั้งเชื้อ *V. harveyi* แต่สารออกฤทธิ์จากน้ำเลี้ยงเชื้อที่นำไปผ่านความร้อนจากไอน้ำที่อุณหภูมิ 121°C ความดัน 15 ปอนด์/ตารางนิวตัน นาน 5 นาที ไม่เห็นวงไสรรอบหลุม จึงไม่เห็นผลการยับยั้ง



**รูปที่ 15 การขับยั้ง *V. harveyi* โดยสารออกฤทธ์จากน้ำเลี้ยงเชื้อ *B. subtilis* ABS-D10 ที่ผ่านและไม่ผ่านหม้อนึ่งไอกำ ความดัน 15 ปอนด์/ตารางนิวต์ ชุนภูมิ 121°C นาน 5 นาที**

Sb : น้ำเลี้ยงเชื้อที่ได้จากการทำให้เซลล์แตกและการอง

Sbh : น้ำเลี้ยงเชื้อที่ได้จากการทำให้เซลล์แตก, กรอง และนำไปเข้าหม้อนึ่งอัตโนมัติความดัน 15 ปอนด์/ตารางนิวต์ ชุนภูมิ 121 °C นาน 5 นาที

### 3.7 ปริมาณของ *B. subtilis* ABS-D10 ที่สามารถยับยั้ง *V. harveyi* บนอาหารร่วน TSA (เติม 1.5%NaCl)

การศึกษาปฏิกิริยาการยับยั้งระหว่าง *V. harveyi* กับ *B. subtilis* ABS-D10 โดยการผสมเชื้อทั้งสองชนิดเข้าด้วยกันในหลอดทดลองที่ภาชนะเชือข่องละ 1 ml โดยมีปริมาณเชื้อ *V. harveyi* คงที่ที่  $10^3$  CFU/ml และปริมาณของเชื้อ *B. subtilis* ABS-D10 ต่างกันที่  $10^1$ - $10^5$  CFU/ml เขย่าที่อุณหภูมิ  $30^\circ\text{C}$  นาน 24 ชั่วโมง แล้วนำมาหาจำนวนโคโลนีของเชื้อแต่ละชนิดที่เหลือบนอาหารร่วน TSA (เติม 1.5%NaCl) ภายหลังการบ่มที่  $37^\circ\text{C}$  นาน 24 ชั่วโมง ที่เวลา 0 ชั่วโมง และ 24 ชั่วโมง ได้ผลดังแสดงในตารางที่ 9 และ 10 ในหลอดควบคุมที่มีเฉพาะเชื้อเดียวทั้ง *B. subtilis* และ *V. harveyi* มีปริมาณถูกต้องและไม่เปลี่ยนแปลงคือ  $10^3$  CFU/ml ในหลอดที่ผสมระหว่าง *B. subtilis* กับ *V. harveyi* นั้นพบว่า *B. subtilis* และ *V. harveyi* นั้นมีจำนวนที่ถูกต้อง หลังจากเชื้อทั้งสองชนิดผสมกันนาน 24 ชั่วโมง พบว่าปริมาณ *B. subtilis* ไม่เปลี่ยนแปลง แต่ *V. harveyi* นั้นไม่สามารถตรวจพบได้ในหลอดที่มี *B. subtilis*  $10^4$  และ  $10^5$  CFU/ml

ตารางที่ 8 ผลการยับยั้ง *V. harveyi* โดย *B. subtilis* ABS-D10 หลังจากผสมเชื้อไว้ 0 ชั่วโมง บนอาหาร TSA (เติม 1.5%NaCl)

เชื้อตั้งต้น (CFU/ml)		ปริมาณเชื้อหลังเลี้ยงรวมกัน (CFU/ml)	
<i>B. subtilis</i>	<i>V. harveyi</i>	<i>B. subtilis</i>	<i>V. harveyi</i>
$1 \times 10^3$	0	$6.0 \times 10^2$	0
0	$1 \times 10^3$	0	$1.5 \times 10^3$
$1 \times 10^1$	$1 \times 10^3$	$1.0 \times 10^1$	$2 \times 10^3$
$1 \times 10^2$	$1 \times 10^3$	$2.1 \times 10^2$	$1.5 \times 10^3$
$1 \times 10^3$	$1 \times 10^3$	$6.2 \times 10^2$	$2.2 \times 10^3$
$1 \times 10^4$	$1 \times 10^3$	$5.3 \times 10^3$	$2 \times 10^2$
$1 \times 10^5$	$1 \times 10^3$	$4.4 \times 10^4$	$1.5 \times 10^3$

ตารางที่ 9 ผลการยับยั้ง *V. harveyi* โดย *B. subtilis* ABS-D10 หลังจาก  
ผสมเชื้อไว้ 24 ชั่วโมง บนอาหาร TSA (เติม 1.5%NaCl)

เชื้อตัวต้น (CFU/ml)		ปริมาณเชื้อหลังเลี้ยงรวมกัน (CFU/ml)	
<i>B. subtilis</i>	<i>V.harveyi</i>	<i>B. subtilis</i>	<i>V.harveyi</i>
$1 \times 10^3$	0	$5.6 \times 10^2$	0
0	$1 \times 10^3$	0	$1 \times 10^3$
$1 \times 10^1$	$1 \times 10^3$	$1.5 \times 10^2$	$1.7 \times 10^4$
$1 \times 10^2$	$1 \times 10^3$	$5.0 \times 10^2$	$2.7 \times 10^4$
$1 \times 10^3$	$1 \times 10^3$	$2.0 \times 10^3$	$3.1 \times 10^4$
$1 \times 10^4$	$1 \times 10^3$	$3.8 \times 10^4$	0
$1 \times 10^5$	$1 \times 10^3$	$2.7 \times 10^5$	0

### 3.8 ค่า MIC และ MBC ของสารจาก *B. subtilis* ABS-D10 ต่อเชื้อ *V. harveyi* โดยวิธี tube dilution

*B. subtilis* ABS-D10 ที่เพาะเลี้ยงในอาหาร TSB (เติม 1.5%NaCl) ด้วยความเร็ว 200 rpm อุณหภูมิ 30°C นาน 3 วัน ปั่นแยกเซลล์ออก แล้วนำส่วนใหญ่มาสกัดสารปฏิชีวนะตามวิธีการของ McKeen et al. (1986) นำสารสกัดที่ได้ไปทำให้แห้งพบว่า จากน้ำเลี้ยงเชื้อปริมาตร 500 ml สามารถสกัดสารในปริมาณ 130 mg (น้ำหนักแห้ง) คิดเป็นผลผลิต 0.026% (น้ำหนักสาร/ปริมาตรเชื้อ) ลักษณะของสารปฏิชีวนะที่ได้มีสีน้ำตาล ละลายกลับใน 80% แอลกอฮอล์ ให้มีความเข้มข้น 10 mg/ml เมื่อนำสารสกัดหยาบที่ความเข้มข้น 1, 0.5, 0.25, 0.125 และ 0.0625 mg/ml ผสมกับ *V. harveyi* คงที่ที่  $10^3$  CFU/ml พบร่วง ได้ค่า MIC อยู่ที่ค่าความเข้มข้น 0.25 mg/ml และค่า MBC อยู่ที่ค่าความเข้มข้น 0.5 mg/ml ดังแสดงผลในตารางที่ 11

ตารางที่ 10 ผลการยับยั้ง *V. harveyi* โดยสารสกัดหยาบจากน้ำเลี้ยงเชื้อ *B. subtilis*

ABS-D10

สารที่เติม (ml)	หมายเลขหลอดทดลอง				
	1	2	3	4	5
TSB+1.5%NaCl	0.5	0.5	0.5	0.5	0.5
Crude extract ของเชื้อ <i>B. subtilis</i> 2 mg/ml	0.5	0.5	0.5	0.5	0.5
เชื้อ <i>V. harveyi</i> ความเข้มข้น $10^3$ cfu/ml	0.5	0.5	0.5	0.5	0.5
Final dilution (mg/ml)	1	0.5	0.25	0.125	0.0625
หลอดที่ใส (+), ชุ่น (-)	+	+	+	-	-
จำนวนเชื้อที่ได้จากการ spread plate (colony)	0	0	>300		

### 3.9 การหาระดับความเข้มข้นของ *V. harveyi* ที่ถูกยับยั้งโดยสารสกัดหยาบจาก *B. subtilis* ABS-D10

ผลจากการทดสอบสารสกัดหยาบจากน้ำเลี้ยงเชื้อ *B. subtilis* ABS-D10 กับ *V. harveyi* ความเข้มข้นต่างๆ ในหลอดทดลองนาน 24 ชั่วโมง พบว่า สารสกัดหยาบจากน้ำเลี้ยงเชื้อ *B. subtilis* ABS-D10 ที่ความเข้มข้น 0.5 mg/ml สามารถยับยั้ง *V. harveyi* ที่มีความเข้มข้น  $1 \times 10^1 - 1 \times 10^4$  CFU/ml

ส่วนสารสกัดหยาบ *B. subtilis* ABS-D10 ที่ความเข้มข้นคงที่เป็น 1 mg/ml สามารถยับยั้ง *V. harveyi* ที่มีความเข้มข้น  $1 \times 10^1 - 1 \times 10^6$  CFU/ml ดังแสดงผลในตารางที่ 12

